

## НОВЫЙ МЕТОД РАСЧЕТА УПРУГИХ СОСТАВНЫХ БАЛОК

**Славомир Карась**

*Люблинская Политехника, Польша*

---

### 1. Введение

Предметом рассмотрения есть расчет составных балок на податливых связях, для которых введены новые геометрические меры деформации. В случае изгиба такой мерой является поступательное линейное смещение нейтральной оси составляющего элемента.

История составных балок тесно связана с деревянными мостами. Основы этого анализа можно найти, например, в [1].

На западе развитие теории и практических приложений начинаются с момента издания книги Саттлера (Sattler) [2], где автор рассматривает составную балку с бетоном в сжатой зоне и стальной двутавровой балкой – в растянутой. Сегодня составные балки широко используются в строительстве мостов. В Польше сейчас приблизительно 50 % пролетных строений – сталежелезобетонные.

В России теорию составных стержней сформировал Ржаницын, который первым рассматривал не только жёсткие, но и податливые связи [3, 4].

Сегодня во многих книгах можно найти так называемую классическую теорию составных конструкций, например, [5-8].

В нашей работе предлагается новый подход к расчету напряженно-деформированного состояния составных стержней. Ставится цель формулирования теоретического аппарата. Задача рассматривается в рамках *технической теории*. Полагаем, что двумерный элемент деформируется линейно, подчиняясь закону Гука (Hooke). Составная балка состоит из двух элементов типа Бернулли (Bernoulli).

Далее примем, что

- бесконечно малый элемент балки, ограниченный сечениями  $(x_3 + dx_3) - x_3$ , испытывает малые деформации;
- рассматривается балка в состоянии чистого изгиба в плоскости  $x_2 - x_3$  (рис.1.);
- поперечные размеры балок не изменяются, коэффициент Пуассона (Poisson) равен нулю;
- силами трения и склеивания в шве пренебрегаем.

В первой части анализа рассматривается *идеализированная* составная балка из двух однородных элементов как по геометрии, так и по материалу. Такое предположение позволяет сконцентрировать внимание на механике проблемы и ввести простую геометрическую меру податливости связей. В известной автору технической литературе такой подход не описан.

Во второй части впервые выведены соотношения, обычно используемые в анализе мостовой составной балки типа «бетон-сталь».

В заключении кроме выводов приведен краткий пример.

## 2. Первая часть

### 2.1. Предпосылки и обозначения

Рассматривается составная балка из двух элементов прямоугольного сечения. С верхним элементом связан индекс – "u", с нижним – индекс "b". Высоты элементов обозначаем через –  $h_u, h_b$ , соответственно ширины –  $b_u, b_b$  и центры тяжести –  $O_u, O_b$ .

В анализе примем, что в каждом из составляющих элементов нулевые линии (поверхности) нормальных напряжений  $\sigma_{0u}^{33}, \sigma_{0b}^{33}$  совпадают с нулевыми линиями относительных деформаций  $\varepsilon_{0u}^{33}, \varepsilon_{0b}^{33}$ ; их определения принимаем в виде:

$$\sigma_{u0} = \sigma_{u0}^{33} = 0 \rightarrow \varepsilon_{u0} = \varepsilon_{u0}^{33} = 0, \quad (1)$$

$$\sigma_{b0} = \sigma_{b0}^{33} = 0 \rightarrow \varepsilon_{b0} = \varepsilon_{b0}^{33} = 0. \quad (2)$$

В локальных прямоугольных координатах вертикальные ординаты положения деформаций  $\varepsilon_{0u}, \varepsilon_{0b}$  обозначим:

$$x_{2g} = x_g = \zeta_g \quad \text{и} \quad x_{2d} = x_d = \zeta_d. \quad (3.1-2)$$

В силу того, что на этом этапе рассматривается балка с одинаковыми по геометрии и материалу элементами, введем упрощения в записи параметров:

- $E_u = E_b = E$  – модули упругости;
- $A_u = A_b = A_0$  – площади поперечных сечений;
- $J_u = J_b = J_0$  – главные моменты инерции;
- $a_u = a_b = a_0, a_u + a_b = 2a_0 = a$  – расстояния между центрами тяжести составляющих элементов и центром тяжести балки (рис.2);
- $\zeta_u = \zeta_b = \zeta_0$  – вертикальные ординаты в локальных координатах нулевых относительных перемещений;
- $S_{u(\zeta_u)} = S_{b(\zeta_b)} = S_{0(\zeta)}$  – статические моменты относительно локальных главных осей элементов балки;
- $S_{u(i)} = S_{b(i)} = S_{0(i)}$  – статические моменты относительно главной оси составной балки;
- $A_i, J_i, O_i$  – соответственно – поверхность, момент инерции, центр тяжести составной балки;

- изгибающие моменты, действующий на верхний элемент балки  $M_u = M_0$ , и нижний  $M_b = M_0$ ; изгибающий момент, действующий на составную балку  $M_{(i)} = M = M_u + M_b = 2M_0$ ;
- $N_u = N, N_b = N$  - продольные силы в элементах.

Задача описывается такими соотношениями:

$$\Sigma x_1 : N_u = N_b = N, \quad (4.1)$$

$$\Sigma x_2 \equiv 0, \quad (4.2)$$

$$\Sigma M_{O(b)} : M_u + M_b + N a = M \quad (4.3)$$

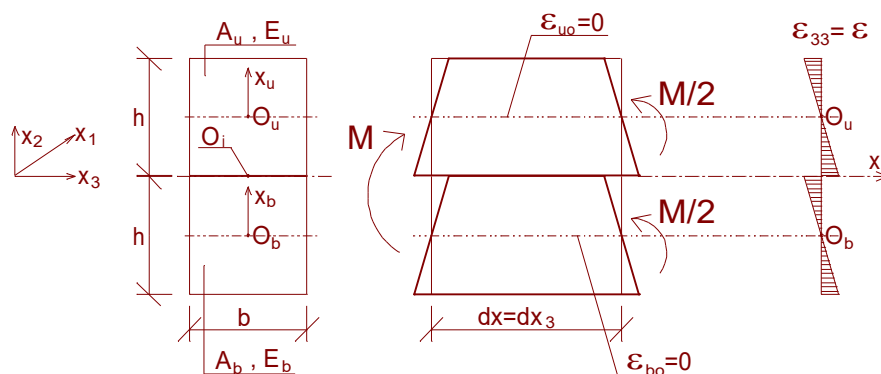
и условия совместности деформаций в исходном и нагруженном состояниях.

## 2.2. Введение геометрической меры податливости связей

Рассмотрим два тривиальных примера составных балок: случай отсутствия связей в шве и случай неподатливых связей между элементами.

Пример I. Элементы не имеют связей в шве

Это граничный случай составной балки, эквивалентной по геометрическим характеристикам балке высотой  $h$  и шириной  $2b$  (рис.1).



**Рисунок 1** – Случай отсутствия связей в шве

Имеем очевидные соотношения:

$$A = A_u + A_b = 2A_0, \quad J_i^{(I)} = J_u + J_b = 2J_0. \quad (5-6)$$

$$M_u = M_b = M_0 = \frac{M}{2} \quad \text{и} \quad N = 0. \quad (7-8)$$

Относительные деформации определяются классическими зависимостями:

$$\varepsilon_u = -\frac{M_u}{EJ_u} x_{(u)} = -\frac{M_0}{EJ_0} x_{(u)}, \quad \varepsilon_b = -\frac{M_b}{EJ_b} x_{(b)} = -\frac{M_0}{EJ_0} x_{(b)}. \quad (9.1-2)$$

Нулевые линии относительных деформации совпадают с осями составляющих элементов, в локальных координатах следует только положить  $x_{(u)} = 0$  и  $x_{(b)} = 0$ . Принимая, что взаимное перемещение балок элементов во шве должно быть положительным, можно записать

$$\delta_l = \underline{\varepsilon}_u - \overline{\varepsilon}_b = 2 \frac{M_0}{EJ_0} a_0 = \frac{M}{EJ_i^{(l)}} 2a_0, \quad (10)$$

если

$$\underline{\varepsilon}_u = -\frac{M_u}{EJ_u}(-a_u) = -\frac{M_0}{EJ_0}(-a_0), \quad \overline{\varepsilon}_b = -\frac{M_b}{EJ_b}a_b = -\frac{M_0}{EJ_0}a_0, \quad (11.1-2)$$

где  $\underline{\varepsilon}_u$  обозначает линейную относительную деформацию нижних волокон верхней балки и соответственно  $\overline{\varepsilon}_b$  – верхних волокон нижней балки.

Пример II. Случай неподатливой связи в шве

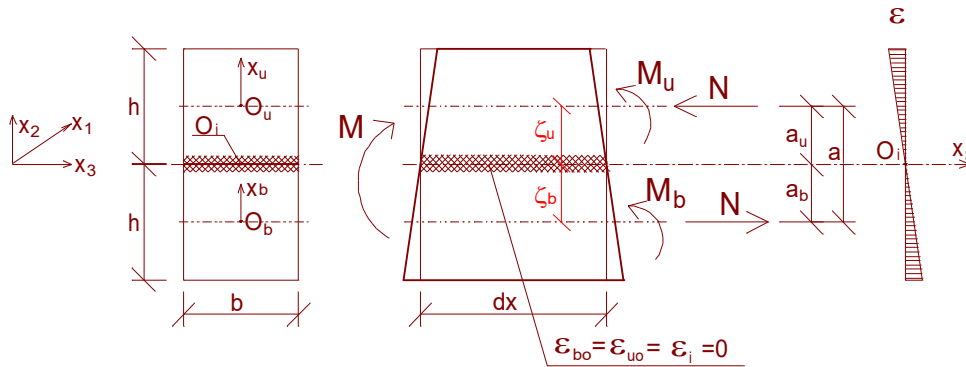
В этом граничном случае составная балка эквивалентна по геометрическим характеристикам балке сплошного сечения высотой  $2h$  и шириной  $b$  (рис. 2).

Как и в первом случае, площадь поперечного сечения

$$A = 2A_0, \quad (5)$$

однако изменится момент инерции относительно главной оси составной балки, который, пользуясь теоремой Штайнера (Steiner), запишем в виде

$$J_i^{(u)} = 2[J_0 + A_0(a_0)^2] = 2J_0 + S_{0(i)}a. \quad (12)$$



**Рисунок 2** – Случай полной (неподатливой) связи между элементами балки

Относительные деформации определяются формулами

$$\varepsilon_u = -\frac{N}{EA_0} - \frac{M_u}{EJ_0}x_{(u)}, \quad \varepsilon_b = \frac{N}{EA_0} - \frac{M_b}{EJ_0}x_{(b)}. \quad (13.1-2)$$

Условие непрерывности деформаций запишем в виде

$$\varepsilon_{u0} = \underline{\varepsilon}_u = - \left[ \frac{N}{EA_0} + \frac{M_0}{EJ_0} (-a_0) \right] = \varepsilon_{b0} = \overline{\varepsilon}_b = 0 \quad (14)$$

и в силу (3.3) имеем

$$N = M \frac{S_{0(i)}}{J_i^{(II)}}, \quad M_u = M_b = M_0 = M \frac{J_0}{J_i^{(II)}}. \quad (15-16)$$

Отсутствие взаимных перемещений в шве:

$$\delta_{II} = 0. \quad (17)$$

Сравнивая рис. 1 и 2, заключаем, что собственные нейтральные оси составляющих элементов из положений  $Q_u$   $Q_b$  смещаются к положению  $Q_i$  – нейтральной оси составного сечения. Геометрические параметры смещения локальных нейтральных осей  $\zeta_u$  и  $\zeta_b$  здесь вводятся как мера податливости связей. В случае примера II (рис.2) эти параметры имеют значения

$$\zeta_u = a_u = a_0 \text{ и } \zeta_b = a_b = a_0. \quad (18.1-2)$$

Далее, используя введенные параметры податливости, рассмотрим пример балки на податливых связях.

### Пример III. $\zeta_u$ $\zeta_b$

Рассматривается составная балка с податливыми связями в шве (рис.3). Предельными случаями здесь являются примеры I или II. Как и раньше

$$A = 2A_0, \quad (5)$$

В этом случае можем записать два выражения момента инерции:

$$J_i^{(III.1)}(\zeta_0) = 2J_0 + 2A_0(\zeta_0)^2 = 2J_0 + S_{0(\zeta)}\zeta_0 \quad (19)$$

и

$$J_i^{(III.2)}(\zeta_0) = 2J_0 + A_0\zeta_0 a = 2J_0 + S_{0(\zeta)} a. \quad (20)$$

В предельных случаях моменты инерции совпадают:

$$\lim_{\zeta_0 \rightarrow 0} J_i^{(III.1)} = \lim_{\zeta_0 \rightarrow 0} J_i^{(III.2)} \rightarrow J_i^{(I)}, \quad (21)$$

$$\lim_{\zeta_0 \rightarrow a_0} J_i^{(III.1)} = \lim_{\zeta_0 \rightarrow a_0} J_i^{(III.2)} \rightarrow J_i^{(II)}, \quad (22)$$

где  $\zeta_u = \zeta_b = \zeta_0$ .

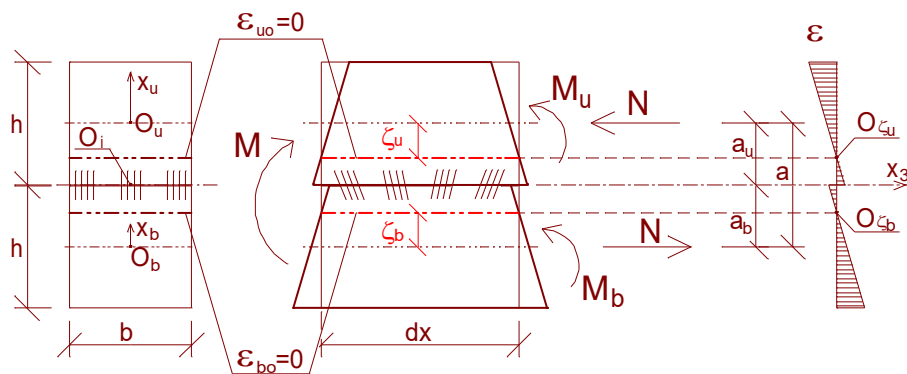


Рисунок 3 – Случай податливой связи между составляющими элементами

Как видно, выражение (19) – есть квадратичная, а (20) – линейная функции  $\zeta_0$ .

Запишем выражения нулевых относительных деформации составляющих элементов

$$\varepsilon_{u0} = - \left[ \frac{N}{EA_0} + \frac{M_u}{EJ_0} (-\zeta_0) \right] = 0, \quad (23.1)$$

$$\varepsilon_{b0} = \frac{N}{EA_0} - \frac{M_b}{EJ_0} \zeta_0 = 0, \quad (23.2)$$

Далее в силу симметрии (22.1-2), получаем

$$N = M \frac{S_0(\zeta)}{J_i^{(III.2)}}, \quad (24)$$

$$M_g = M_d = M \frac{J_0}{J_i^{(III.2)}}. \quad (25)$$

Взаимное смещение элементов представляется в виде

$$\delta_{III}(\zeta_0) = \underline{\varepsilon}_u - \overline{\varepsilon}_b = \frac{M}{E J_i^{(III.2)}} 2(a_0 - \zeta_0) \quad (26)$$

и, кроме того,

$$\delta_I < \delta_{III}(\zeta) < \delta_{II} = 0. \quad (27)$$

Здесь граничные переходы также очевидны.

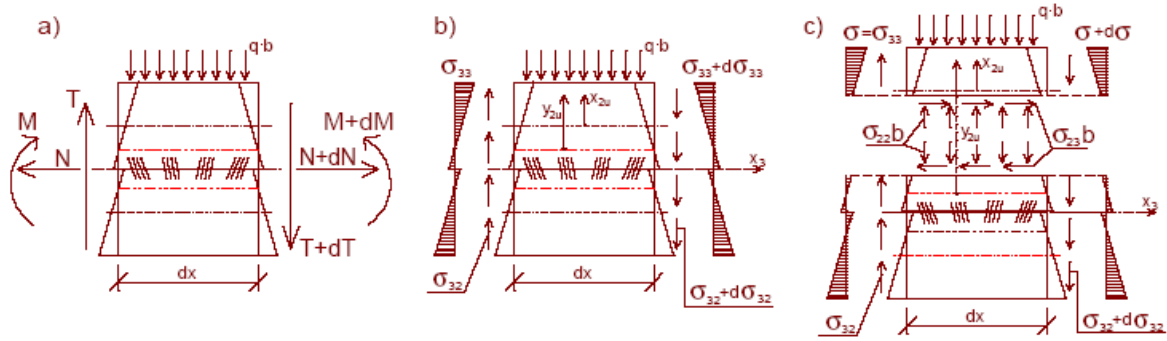
### 2.3. Нормальные $\sigma_{22}$ и касательные $\sigma_{23}$ напряжения

Для симметричного тензора напряжений имеем

$$\sigma_{32} = \sigma_{23}. \quad (28)$$

Величина искомых напряжений зависит от ординаты отсекаемой части сечения  $x_{(u)}$  (рис. 4):

$$\sigma_{23} = \sigma_{23}(x_u), \quad \sigma_{22} = \sigma_{22}(x_u). \quad (29.1-2)$$



**Рисунок 4 – Внутренние силы и напряжения**

Обозначим (рис. 5) через  $\bar{A} = A(x_u)$  часть поверхности поперечного сечения, отсекаемую горизонтальной плоскостью. Здесь имеем постоянную ширину балки  $b(x_g) = b$ .

Уравнения равновесия отсеченной части сечения (рис.4) запишем в виде

$$\Sigma x_3 : \quad \sigma_{23} dx b + \int_A d\sigma dA = 0, \quad (30)$$

$$\Sigma x_{2g} : \quad (q - \sigma_{22}) dx b + \int_A d\sigma_{32} dA = 0, \quad (31)$$

при 
$$[q] = \left[ \frac{N}{m^2} \right]. \quad (31.1)$$

Интеграл в уравнении (30) содержит (рис. 5)

$$\sigma = \sigma_g = -\frac{N}{A_0} - \frac{M_g}{J_0} x_g = -\frac{M}{J_i^{(III.2)}} (x_g + \zeta_0) = -\frac{M}{J_i^{(III.2)}} y_g, \quad (32)$$

если  $y_g = x_g + \zeta_0$  и  $y_g \in \left( (\zeta_0 - a_0); [h - (a_0 - \zeta_0)] \right)$ ; (32.1-2)

получаем

$$\int_A d\sigma dA = -\frac{dM}{J_i^{(III.2)}} \int_A y_g dA = -\frac{dM}{J_i^{(III.2)}} \bar{S}_{(\zeta)}, \quad (33)$$

где  $\bar{S}_{(\zeta)}$  – статический момент отсеченной части  $\bar{A}$  относительно оси  $\zeta_u$ . В предельных случаях получаем

$$\lim_{\zeta \rightarrow 0} \bar{S}_{(\zeta)} = 0 \quad (\text{центр тяжести}), \quad (33.1)$$

$$\lim_{\zeta \rightarrow a_0} \bar{S}_{(\zeta)} = S_{0(i)}. \quad (33.2)$$

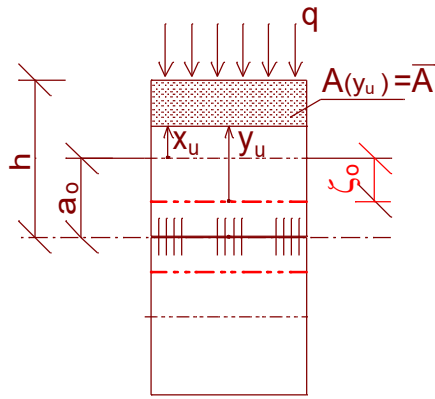


Рисунок 5

Используя (30), (32) и (32.1-2), получим

$$\sigma_{23}(y_{2g}) = \frac{dM}{dx} \frac{1}{b} \frac{\bar{S}(\zeta)}{J_i^{(III.2)}} = \frac{T}{b} \frac{\bar{S}(\zeta)}{J_i^{(III.2)}}. \quad (34)$$

Интенсивность силы, действующей на связи в шве, получаем в виде

$$dQ = dx b \sigma_{23}(y_{2g}), \quad (34.1)$$

и отсюда

$$Q(y_g) = \frac{\bar{S}(\zeta)}{J_i^{(III.2)}} \int_0^x T dx. \quad (34.2)$$

Принимая среднюю величину касательной силы  $T_{eff} = const$ , на длине отрезка "e" балки, в силу (34.2), можно написать

$$Q_{eff.(e)} = T_{eff} \frac{\bar{S}(\zeta)}{J_i^{(III.2)}} e. \quad (34.3)$$

Из (31), (27) и (34) получаем формулу  $\sigma_{22}$

$$\sigma_{22}(y_u) = q + \frac{1}{b} \frac{d}{dx} \int_A \sigma_{32} dA = q + \frac{1}{J_i^{(III.2)} b} \frac{d^2 M}{dx^2} \int_A \bar{S}(\zeta) dA; \quad (35.1)$$

или

$$\sigma_{22}(y_u) = q \left[ 1 - \frac{1}{J_i^{(III.2)} b} \int_A \bar{S}(\zeta) dA \right]. \quad (35.2)$$

Эти результаты заключают первую часть работы.



### 3. Часть вторая

#### 3.1. Сталежелезобетонная мостовая балка

Более 50 лет составные балки используются в пролётных строениях мостов. Чаще других используются балки с бетонной плитой в сжатой зоне и двутавровой стальной балкой – в растянутой. Начнем анализ именно с такой балки. Введем обозначения (рис.6): индекс "с" – означает бетон, а индекс "s" – сталь.

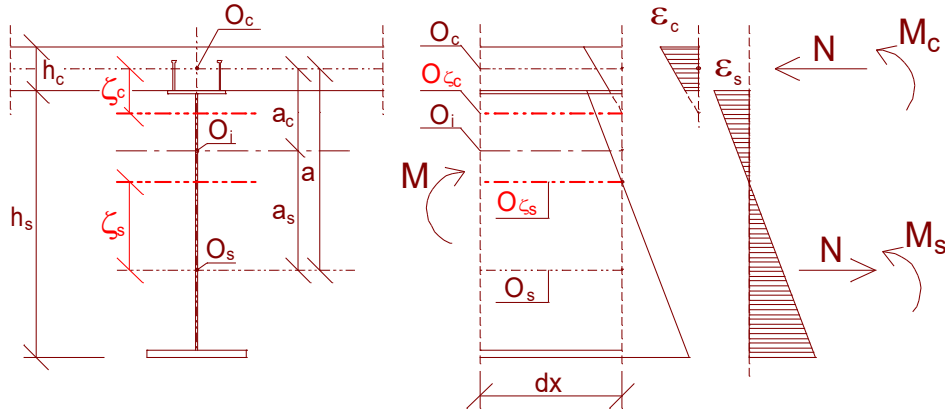


Рисунок 6 – Сталежелезобетонная балка. Деформации изгиба

Площадь поперечного сечения составной балки:

$$A_i = A_c \frac{1}{n} + A_s = A'_c + A_s, \quad (36)$$

причем

$$n = \frac{E_s}{E_c}; \quad (36.1)$$

Момент инерции

$$J_i = \frac{J_c}{n} + J_s + \frac{A_c}{n}(a_c)^2 + A_s(a_s)^2 = J'_c + J_s + S'_{c(i)}a_c + S_{s(i)}a_s = J'_c + J_s + S_{0(i)}a, \quad (37)$$

где  $S'_{c(i)} = S_{s(i)} = S_{0(i)}$  (37.1) – статические моменты;  $S'_{c(i)}$  – статический момент поперечного сечения бетона поделен на "n" (36.1) и  $S_{s(i)}$  – статический момент поперечного сечения стальной части, все эти моменты вычислены относительно оси  $O_i$ .

В случае чистого изгиба получаем:

- нулевые оси относительных деформации составляющих элементов

$$\varepsilon_{c0} = \varepsilon_c(\zeta_c) = -\frac{N}{E_c A_c} - \frac{M_c}{E_c J_c}(-\zeta_c) = 0, \quad (38)$$

$$\varepsilon_{s0} = \varepsilon_s(\xi_s) = \frac{N}{E_s A_s} - \frac{M_s}{E_s J_s}\zeta_s = 0, \quad (39)$$

- с помощью (3.3) и (38-39) находим внутренние силы:

$$N = M \frac{S_c(\zeta_c) S_s(\zeta_s)}{J_c S_s(\zeta_s) + J_s S_c(\zeta_c) + a S_c(\zeta_c) S_s(\zeta_s)} = M \frac{S_c S_s}{K}, \quad (40.1)$$

или

$$N' = N = M \frac{S'_c(\zeta_c) S_s(\zeta_s)}{J'_c S_s(\zeta_s) + J_s S'_c(\zeta_c) + a S'_c(\zeta_c) S_s(\zeta_s)} = M \frac{S'_c S_s}{K'}; \quad (40.2)$$

где  $S_c(\zeta_c)$ ,  $S'_c(\zeta_c)$ ,  $S_s(\zeta_s)$  статические моменты относительно осей  $\zeta_c$  и  $\zeta_s$  соответственно для бетона и стали,

$$M_c = M \frac{J_c}{K} S_s(\zeta_s) = M \frac{J'_c}{K'} S_s(\zeta_s), \quad M_s = M \frac{J_s}{K} S_c(\zeta_c) = M \frac{J_s}{K'} S'_c(\zeta_c); \quad (41-42)$$

- взаимное смещение в шве (рис. 6.)

$$\delta = \underline{\varepsilon}_c - \overline{\varepsilon}_s = \frac{M}{E_s K'} \left[ S'_c(\zeta_c) \left( a - \frac{h_c}{2} - \zeta_s \right) + S_s(\zeta_s) \left( \frac{h_c}{2} - \zeta_c \right) \right]. \quad (43)$$

На рис. 6. повороты сечений бетона и стали неодинаковы. Действительно, если записать кривизны для составляющих элементов

$$(\rho_c)^{-1} = \frac{M_c}{E_c J_c} = M \frac{S_s(\zeta_s)}{E_c K'}, \quad (\rho_s)^{-1} = \frac{M_s}{E_s J_s} = M \frac{S'_c(\zeta_c)}{E_s K'}, \quad (44.1-2)$$

- можно убедиться в том, что они отличны

$$(\rho_b)^{-1} \neq (\rho_s)^{-1}. \quad (44.3)$$

В случае неподатливых связей получаем –

$$\lim_{\left\{ \begin{array}{l} \zeta_b \rightarrow a_b \\ \zeta_s \rightarrow a_s \end{array} \right\}} (\rho_b)^{-1} = \lim_{\left\{ \begin{array}{l} \zeta_b \rightarrow a_b \\ \zeta_s \rightarrow a_s \end{array} \right\}} = (\rho_s)^{-1} = (\rho_i)^{-1}. \quad (44.4)$$

### 3.2. Определение касательных усилий

Подобно схеме на рис. 4, отсечем горизонтальной плоскостью часть сечения балки, но теперь уже в шве балки. Здесь действуют напряжения  $\sigma_{32}$  и  $\sigma_{22}$ . Напряжения  $\sigma_{33(c)}$  в бетоне определяются формулой

$$\sigma_c = \sigma_{33(c)} = -M \frac{S_s(\zeta_s)}{K} y_c, \quad (45.1)$$

при 
$$y_c = x_c + \zeta_c, \quad y_c \in \left( \left( \zeta_c - \frac{h_c}{2} \right); \left( \zeta_c + \frac{h_c}{2} \right) \right). \quad (45.2)$$

Из (30) получаем

$$\sigma_{23}(y_c) = \frac{T}{b_c} \frac{\bar{S}_c(\zeta_c) S_s(\zeta_s)}{K} = \frac{T}{b_b} \frac{\bar{S} - S}{K}, \quad (45.3)$$

где

$$\bar{S}_c(\zeta_c)(y_c) = \int_A y_c dA = \frac{\bar{A}}{2} \left[ y_c + \left( \frac{h_c}{2} + \zeta_c \right) \right] = \frac{b_c}{2} \left[ \left( \frac{h_c}{2} + \zeta_c \right)^2 - (y_c)^2 \right]. \quad (45.4)$$

По (31) и (31.1), используя (45.4),  $\sigma_{22(c)}$  выразим в виде

$$\begin{aligned} \sigma_{22c}(y_c) &= q + \frac{1}{b_c} \int_A \frac{d\sigma_{32}}{dx} dA = q + \frac{1}{(b_c)^2} \frac{d^2 M}{dx^2} \frac{S_s(\zeta_s)}{K} \int_A \bar{S}_c(\zeta_c)(y_c) dA = \\ &= q \left[ 1 - \frac{1}{b_b} \frac{S_s(\zeta_s)}{K} \int_A \bar{S}_c(\zeta_c)(y_c) dA \right], \end{aligned} \quad (46)$$

Здесь отметим, что в шве ширина бетона  $b_c$  отличается от ширины верхней стальной полки  $b_s$ . Далее будем считать, что положение  $b_s$  связано с ординатой соотношением

$$y_c := \underline{\chi} = \zeta_c - \frac{h_c}{2}, \quad (47)$$

что позволяет записать выражения для  $\sigma_{23}$  и  $\sigma_{22}$  в плоскости шва относительно верхней поверхности бетонной плиты

$$\sigma_{23(cont.)} = \frac{T}{b_s} \frac{S - S}{K}, \quad (48)$$

отсюда находим поперечную силу

$$Q_{(cont.)} = b_s \int_0^x \sigma_{23(cont.)} dx = \frac{S - S}{K} \int_0^x T dx; \quad (49)$$

В случае, если мы знаем в среднем величину касательной силы  $T_{\text{eff}} = \text{const}$ , на длине отрезка "e" получаем

$$Q_{\text{miar.}(e)} = T_{\text{miar.}} e \frac{S - S}{K}. \quad (50.2)$$

Для нормальных вертикальных напряжений  $\sigma_{22}$  находим

$$\sigma_{22(cont.)} = q \frac{b_c}{b_s} \left[ 1 - \frac{b_c}{6} \frac{S_s(\zeta_s)}{K} \left[ (2h_c)^2 \underline{\chi} - 2h_c \zeta_c \underline{\chi} - (h_c)^3 \right] \right]; \quad (51)$$

$$\left( \sigma_{22(cont.)} = q \frac{b_c}{b_s} \left\{ 1 - \frac{b_c}{6} \frac{S_s(\zeta_s)}{K} \left[ \bar{\chi}^2 (2\bar{\chi} - \underline{\chi}) + (\underline{\chi})^3 \right] \right\} \right), \quad (51.1)$$

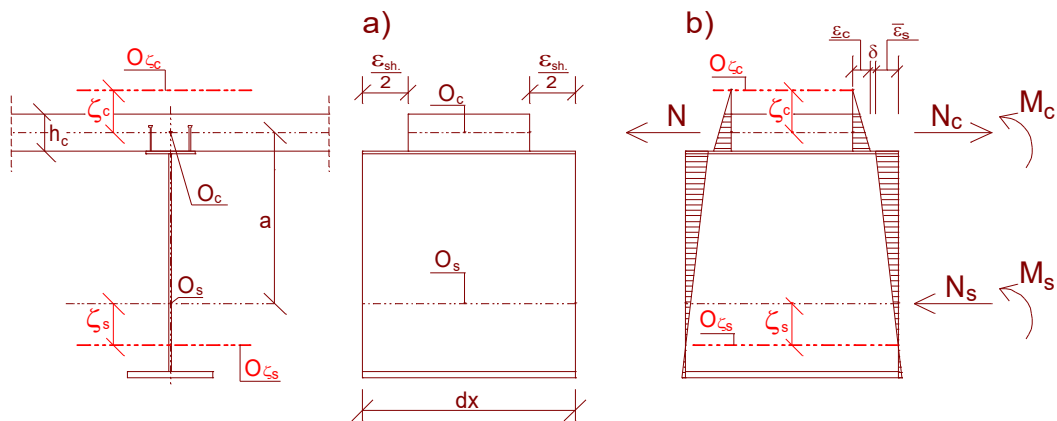
где

$$\bar{\chi} = \zeta_c + \frac{h_c}{2}, \quad \underline{\chi} = \zeta_c - \frac{h_c}{2}. \quad (51.2-3)$$

### 3.3. Усадка бетона

Усадка бетона – важный фактор, учитываемый при проектировании мостовых балок. Средняя возможная усадка может быть описана такими же соотношениями, что и тепловые деформации, которые возникают при равномерном нагревании или охлаждении плиты. Наиболее распространен метод, предложенный Биркландом [9].

Здесь в расчете напряжений усадки принято, что деформация  $\varepsilon_{sh}$  – постоянная по толщине плиты. Пусть также известен график деформации (рис. 7, б). Предполагая, что начальная конфигурация отвечает свободной усадке – рис. 7, а, это случай отсутствия связи в шве. Теперь найдем такие внутренние силы, которые переводят начальную конфигурацию в конфигурацию после деформации.



а) начальная конфигурация, б) график деформации, внутренние силы.

Рисунок 7 – Сталежелезобетонная балка – влияние усадки

Имеем 5 неизвестных:  $N$ ,  $N_b$ ,  $N_s$ ,  $M_b$ ,  $M_s$ , которые найдем из двух уравнений равновесия и двух уравнений совместности деформации, а также из условия

$$\delta = 0. \quad (52)$$

Получим

$$\Sigma M_{O_b} : N_s a = M_b + M_s, \quad (53)$$

$$\Sigma M_{O_s} : Na = N_b a - (M_b + M_s), \quad (54)$$

Аналогично (38-39) запишем

$$\varepsilon_{b0} = \varepsilon_b(\zeta_b) = \frac{N_b}{E_b A_b} - \frac{M_b}{E_b J_b} \zeta_b = 0, \quad (38.1)$$

$$\varepsilon_{s0} = \varepsilon_s(\zeta_s) = -\frac{N_s}{E_s A_s} - \frac{M_s}{E_s J_s} (-\zeta_s) = 0, \quad (39.1)$$

Из этих уравнений получим:

$$M_b = N_b \frac{J_b}{A_b \zeta_b} = N_b \frac{J_b}{S_b(\zeta_b)} = N_b \frac{J'_b}{S'_b(\zeta_b)}, \quad (55)$$

$$M_s = N_s \frac{J_s}{A_s \zeta_s} = N_s \frac{J_s}{S_s(\zeta_s)}. \quad (56)$$

Подставив (55-56) в (53-54) получим

$$N_b = N_s \frac{a S'_b - S - J_s S'_b(\zeta_b)}{J'_b S_s(\zeta_s)}. \quad (57)$$

Для удобства введем обозначение

$$K'_{sh.} = a S'_b - S - (J_s S'_b(\zeta_b) + J'_b S_s(\zeta_s)) \quad (58)$$

и найдем

$$N_b = N \frac{a S'_b - S - J_s S'_b(\zeta_b)}{K'_{sh.}}, \quad (59)$$

$$N_s = N \frac{J'_b S_s(\zeta_s)}{K'_{sh.}}, \quad (60)$$

$$M_b = N \frac{J'_b}{K'_{sh.}} (a S_s(\zeta_s) - J_s) \quad (61)$$

и 
$$M_s = N \frac{J'_b J_s}{K'_{sh.}}. \quad (62)$$

Используя условие совместности деформаций, получаем

$$\varepsilon_{sk.} - \delta = \underline{\varepsilon}_b + \bar{\varepsilon}_s = \frac{N}{E_s K'_{sh.} \kappa}, \quad (63)$$

где  $\kappa^{-1}$  определяется выражением

$$\frac{1}{\kappa} = \frac{a S'_b - S - J_s S'_b(\zeta_b)}{A'_b} + \frac{J'_b S_s(\zeta_s)}{A_s} + \frac{1}{2} [h_b (a S_s(\zeta_s) - J'_b - J_s) + 2a J'_b], \quad (64)$$

Из (64) с учетом (52) получим:

$$N = \varepsilon_{sk.} E_s K'_{sh.} \kappa. \quad (65)$$

Подстановка силы N (65) в (59-62) дает решение поставленной проблемы.

#### 4. Пример

Приведем пример, показывающий влияние податливости связей на кривизну составной балки. Запишем обычные выражения усилий в элементах составной балки

$$\bar{M}_b = M \frac{J'_b}{J_i}, \quad \bar{M}_s = M \frac{J_s}{J_i}, \quad \bar{N} = M \frac{S_{0(i)}}{J_i}. \quad (66.1-3)$$

Полученные из (66.1-3) кривизны равны

$$\frac{(\bar{\rho}_b)^{-1}}{(\bar{\rho}_s)^{-1}} = 1. \quad (44.4.1)$$

Теперь, используя изложенную методологию для случая податливых связей бетона, получаем

$$\zeta_s = a_s, \quad \zeta_b = \mu a_b, \text{ если } \mu \in (0;1) \quad (67.1-3)$$

Используя (40.2), для  $K'$  запишем

$$K' = J'_b S_{s(\zeta_s)} + J_s S'_{b(\zeta_b)} + a S'_{b(\zeta_b)} S_{s(\zeta_s)} \rightarrow S_{0(i)} [J'_b + \mu (J_s + a S_{0(i)})]. \quad (68)$$

и отсюда, используя (40.2), (41-2), получаем

$$M_b = M \frac{J'_b}{J'_b + \mu (J_s + a S_{0(i)})}, \quad M_s = M \frac{\mu J_s}{J'_b + \mu (J_s + a S_{0(i)})}, \quad (69.1-2)$$

$$N = \frac{\mu S_{0(i)}}{J'_b + \mu (J_s + a S_{0(i)})}. \quad (69.3)$$

Сравнивая формулы (66.1-3) и (69.1-3), можем записать

$$\frac{M_b}{\bar{M}_b} = \frac{J'_b + J_s + a S_{0(i)}}{J'_b + \mu (J_s + a S_{0(i)})} \quad \text{и} \quad (70.1)$$

$$\frac{M_s}{\bar{M}_s} = \frac{N}{\bar{N}} = \frac{\mu (J'_b + J_s + a S_{0(i)})}{J'_b + \mu (J_s + a S_{0(i)})}. \quad (70.2)$$

Из выражения (44.4.1) следует

$$\frac{(\rho_b)^{-1}}{(\rho_s)^{-1}} = \frac{1}{\mu}. \quad (70.3)$$

## Выводы

1. Представлена теория расчета составных балок. Кроме рассмотренных здесь сталежелезобетонных балок теория может также быть применена и к составным деревянным балкам и из других материалов.

2. Введенная здесь геометрическая мера  $\zeta_c$  и  $\zeta_s$  податливости анкерных устройств может рассматриваться в более широком толковании, а именно эти величины функционально связаны с упругими и пластическими свойствами бетона, с частичным нарушением связи балки с плитой, а также с формой самих анкеров. Величины  $\zeta_c$  и  $\zeta_s$  позволяют описать статические и динамические процессы нагружения, ползучесть бетона, старение, тепловые воздействия и др. Все это в общем виде можно написать так:

$$\zeta_c = \zeta_c(t, T, f_{cc}, f_{y(connect.)}, \alpha_c) \quad \zeta_s = \zeta_s(t, T, f_y, \alpha_s), \quad (71-72)$$

где  $\alpha_c, \alpha_s$  – коэффициенты влияния формы анкеров на область бетона,

$f_{y(connect.)}, f_y$  – пределы текучести соответственно материала анкеров и металла балки.

В некоторых случаях можно считать, что  $\zeta_s \rightarrow a_s$ . (67.1)

Величины, входящие в выражения (71-72), могут быть определены по результатам экспериментов – других исследователей или опытов, запланированных в этой работе.

3. Отличное от нуля смещение  $\delta$  рассмотрено в первой части статьи, но в общем случае  $\delta \rightarrow 0$ . Точно также известное условие  $C_i = Q/\delta$  (см. например, [3]) тоже может быть учтено, оно приводит к переменной величине сдвигающей силы.

4. Проблема усадки проанализирована в предположении, что вначале  $\delta = 0$  (52). Альтернативный подход не должен использоваться как неприемлемый по техническим причинам.

5. Используя в качестве основного условия определения положения нейтральной оси условия (1.1-2) или (38-39) либо (38.1), (39.1) мы избегаем требования равенств кривизн (44.41). Таким образом, мы имеем дело с плоскими поверхностями бетонного и стального элементов, проскальзывающих под разными углами.

6. Перечисленные выше преимущества должны рассматриваться вместе с недостатком описания момента инерции. В представленном подходе соотношения (69.1-3) и (40.1-2), (41-2), (23-24) имеют одинаковую силу. На их основе нельзя получить единственное выражение для момента инерции. С другой стороны, точка зрения автора наиболее удобна для расчета ряда задач исчерпания несущей способности от действия эксплуатационных нагрузок. Здесь используются обобщенные выражения (18-19) и (30) или

$$J_i = J'_b + J_s + S_{b(\xi_b)} a_b + S_{s(\xi_s)} a_s, \quad (73.1)$$

$$J_i = J'_b + J_s + S_{b(\xi_b)} \xi_b + S_{s(\xi_s)} \xi_s \quad (73.2)$$

Причины этого положения следуют из описанного выше физического смысла задачи – жесткость составных элементов может быть представлена суммой жесткости стальной балки и степенью увеличения этой жесткости за счет включения бетонной железобетонной плиты.

Окончательное решение проблемы требует дальнейших теоретических и экспериментальных исследований.

## Литература

1. Melan J., *Brückenbau I*, Leipzig-Wien, 1922
2. Sattler K., *Theorie der Verbundkonstruktionen*, Ernst u. Sohn, Berlin 1953.
3. Ржаницын А.Р., *Теория составных стержней строительных конструкций*, Стройиздат, 1948.
4. Ржаницын А. Р., *Составные стержни и пластинки*, Стройиздат, 1986.
5. Johnson R.P., Buckby R.J., *Composite Structures of Steel and Concrete*, Granada, 6 London, New York, 1979.
6. Sabinis G.M., *Handbook of Composite Construction Engineering*, Van Nostrand Reinhold Co., New York, 1979.
7. Łagoda M.: Wpływ podatności zespolenia na rozkład sił wewnętrznych. Konferencja naukowo – techniczna „Mosty zespolone”, Kraków 1998.
8. Duan L., Saleh Y., Altman S., *Steel-Concrete Composite I-Girder Bridge in Bridge Engineering Handbook*, Ed. Wai-Fah Chen and Lian Duan, Boca-Raton: CRC Press, 2000.
9. Birkeland H.W., *Differential Shrinkage in Composite Beams*, JACI, No 11, V-31, 1960.